

## 液状化した砂の膨張特性

科学技術振興事業団 正会員 ○藤井 敏美  
 福山大学工学部 正会員 西原 晃  
 福山大学工学部 正会員 柴田 徹

### はじめに

本研究は地震などで液状化した後の地盤の力学挙動を解明するために、液状化砂の膨張特性(体積変化率)を実験的に調べることを目的とした。

### 1. 実験の方法

図-1の装置を用いて、浸透水によるクイックサンド実験を行なった。使用した実験試料は、粒径の異なる3種類の砂、および4種類のガラスビーズである。

土槽は補強したアクリル製円筒で、タンクAとB間に水位差を与えることで、底部から上向きの浸透流を生じさせる。図示の間隙水圧計位置に3個の間隙水圧計を設置し、それらの差から動水勾配を求めた。浸透水流速は、タンクBからの越流水を経時的に計量して求めた。

### 2. 実験結果の概要

豊浦砂に対する浸透実験結果を図-2に示す。図-2より、以下のような特徴が指摘できる。

1) 流速vが限界値 $v_c$ 以下では、vと動水勾配iが比例関係にあり、Darcy則が成立する。 $v_c$ は限界動水勾配 $i_{cR}$ に到達時点のvに対応しており、この $v \leq v_c$ 間では間隙比eの変化はみられない。

2) 限界動水勾配 $i_{cR}$ は粒子比重を $G_s$ として、

$$i_{cR} = (G_s - 1) / (1 + e) \quad (1)$$

で与えられ、 $v > v_c$ の範囲では、間隙水圧計から求めたiが、式(1)の値とほぼ一致している。

3)  $v > v_c$ の範囲では、間隙比eが流速vにほぼ比例して増加する。

### 3. 膨張率と流速の関係

体積膨張率は

$$V_L/V_0 = (1 + e) / (1 + e_0) \quad (2)$$

で定義される。ここに $e_0$ は液状化する前の初期間隙比である。図-3は砂およびガラスビーズに対する実験結果の中から、代表的な膨張率 $V_L/V_0$ ～透水流速v関係をプロットしたものである。

この図には、比較のために吉見らの実験結果<sup>1)</sup>も併記してある。図-3より $v > v_c$ の範囲で $V_L/V_0$ ～v関係はほぼ直線になること、砂とガラスの各グループ別にみて、粒径が大になるほど直線の勾配(膨張係数)は小さく、限界流速 $v_c$ は大きくなることが分かる。

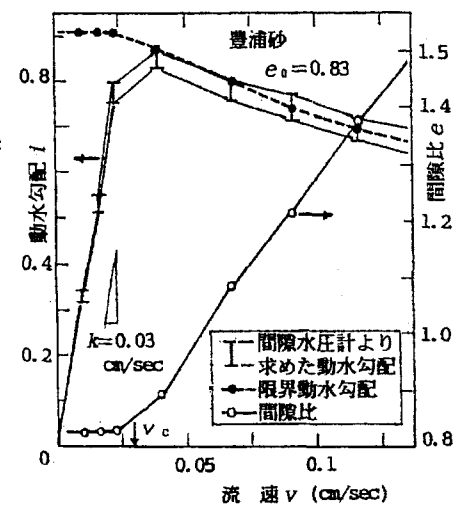


図-2 浸透水流に対する動水勾配、間隙比の変化(豊浦砂)

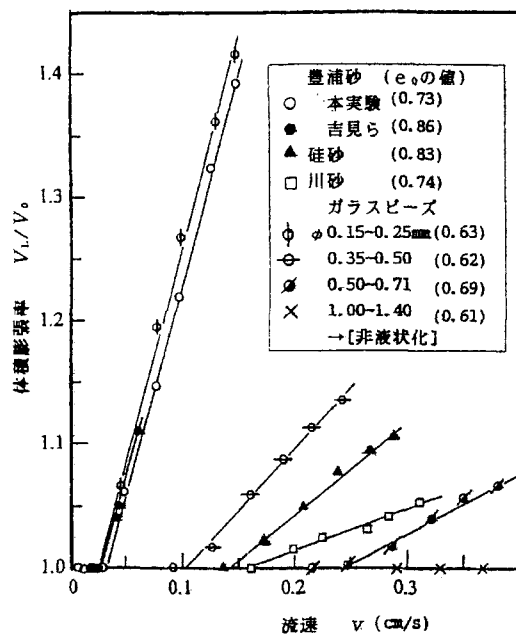


図-3 浸透流速と膨張率の関係(代表例)

キーワード 液状化、膨張、粘性、浸透水流、融点。

連絡先 〒729-0251 広島県福山市学園町1番地三蔵 福山大学 TEL 084-936-2112 FAX 084-936-2023

これらの関係を式示すると

$$v > v_c : V_L/V_0 = 1 + \delta_w(v - v_c) \quad (3)$$

となり、 $\delta_w$ は膨張係数である。ここで物質を加熱したときの膨張に関して、

$$V_L/V_0 = 1 + \delta(T - T_m) \quad (4)$$

が成り立つ。<sup>2)</sup>ただし  $T_m$  は物質の融点(絶対温度)、 $\delta$  は加熱による膨張係数である。上記の式(3)と(4)を比較すれば、粉粒体を液化させるときの浸透水流速  $v$  は、加熱による融解時の温度  $T$  に対応し、限界流速は融点に相当するといえる。

#### 4. 限界流速と粒径の関係

限界流速  $v_c$  は、限界動水勾配  $i_{cR}$  と Darcy 則を用いて、

$$v_c = k \cdot i_{cR} \quad (5)$$

と書ける。また透水係数は Poiseuille の式を基本にして次式で表わされる<sup>3)</sup>。

$$k \approx C \gamma_w e^3 D^2 / (50(1 + e)^{-1}) \quad (6)$$

ここに  $C$  ; 粒子構造係数、 $\gamma_w$  ; 水の単位体積重量、 $D$  ; 粒子径、 $e$  ; 水の粘性係数である。したがって  $v_c$  と  $D$  の関係としては、近似的に次式が成立する。

$$v_c \propto D^2 \quad (7)$$

図-4 は、 $v_c$  と粒径(平均粒径  $D_{50}$ )の関係をプロットした結果である。

この図には、参考のために間隙比  $e$  を 0.7~0.9 とし、宇野ら<sup>4)</sup>の提案式から求まる関係を網目の範囲で併記した。データはばらついているが、今回の実験でも式(7)の成立が認められる。

#### 5. 膨張係数と限界流速の関係

粉体工学の分野における研究例<sup>2)</sup>で、液状化させた粉体の体積変化や粘性特性の関係を表したものに次式がある。

$$\delta_A U_c = 1/6 \quad (8)$$

ここに  $\delta_A$  ; 空気流による膨張係数、 $U_c$  ; 液化する時の限界流速である。上記の式(8)は  $U_c$  が大きいほど  $\delta_A$  が小さいことを表わしており、これは加熱による融解現象において、融点  $T_m$  が高い物質ほど膨張率  $\delta$  が低いという特性に対応すると考えられる。この関係が砂やガラスビーズを用いた浸透水流の場合にも当てはまるかどうかを次に検討する。

図-5 は均等粒径材料の場合に、 $D_{50}$  に対する膨張係数

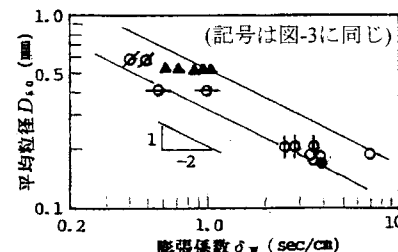


図-5 膨張係数と粒径の関係

$\delta_w$  をプロットしたものである。粒径が細粒になるほど膨張係数は大になる傾向を示しており、おむね

$$\delta_w \propto (D_{50})^{-2} \quad (9)$$

と表わすことができる。先に導かれた式(7)で  $D=D_{50}$  とし、式(9)と組み合わせると、 $v_c$  と  $\delta_w$  の積は一定となる。図-6 は各実験データに基づき、液状化後の体積膨張係数  $\delta_w$  と、液状化発生時の限界流速  $v_c$  を求めて、両対数表示したものである。図-6 より、以下のような考察ができる。

図中には  $(\delta_w \cdot v_c)$  の値を記入しているが、それによると古川・大前<sup>5)</sup>の送気実験で得られた  $(\delta_A \cdot U_c) = 1/6$  を上限とし、川砂の  $1/16$  程度を下限とする範囲内に収まっている。

古川・大前

の送気実験用材料、および今回の豊浦砂・珪砂・ガラスビーズはいずれも均等粒径である。それに対して  $(\delta_w \cdot v_c) = 1/16$  の川砂は均等係数 = 2.33 であった。このように、粒径の均等程度の違いが  $(\delta_w \cdot v_c)$  の値に影響する可能性が考えられる。

#### おわりに

本実験は上向き浸透水流に対するもので、その成果は地盤の掘削時に発生するボイリング問題の解決にも寄与できると考えている。砂のような粉粒体の液状化は、固体を加熱したときの融解現象にたとえられる。その際に「温度」の働きをするのは浸透水の「流速」であることが明らかになった。つまり浸透水流速が増えて液状化に至る過程での体積膨張が「流速」を「温度」に置き換えることによって解釈できることになった。

#### 参考文献

- Y.Yoshimi, et al.: One-Dimensional Volume Change Characteristics of Sands under Very Low Confining Stress, S&F, Vol.15, No.3, pp.51-60, (1975).
- J.Furukawa, T.Ohmae: Liquidlike Properties of Fluidized Systems, Industrial & Eng.Chemistry, Vol.50, No.5, pp.821-828, (1958).
- 山口拍樹: 土質力学(全改定), 技報堂出版, p.56, (1994).
- 宇野尚雄: 土の浸透破壊の発生・拡大機構に関する研究, 文部省科研費補助金研究成果報告書, pp.4-9, (1990).